



## معرفی تلفیق طیفی اسلپین کروی و بررسی آن بر روی مدل‌های جهانی و منطقه‌ای یونسفری

حسین اعتمادفرد<sup>۱\*</sup>، مسعود مشهدی حسینعلی<sup>۲</sup>

۱- دانشجوی دکتری مهندسی نقشهبرداری، گروه ژئودزی دانشکده نقشهبرداری دانشگاه صنعتی خواجه نصیرالدین طوسی  
۲- دانشیار گروه ژئودزی دانشکده نقشهبرداری دانشگاه صنعتی خواجه نصیرالدین طوسی

### چکیده:

یکی از مشکلات حاکم بر مدل‌های یونسفری موجود، عدم تعامل و فقدان قابلیت ترکیب بین مدل‌های است. این تحقیق به بررسی نحوه برهمکنش بین مدل‌های جهانی و منطقه‌ای یونسفری مبتنی بر توابع پایه ریاضی پرداخته است. از آنجایی که توابع پایه اسلپین کروی قابلیت تعریف بر روی کل کره (مدل جهانی) و بخش از کره (مدل منطقه‌ای) را دارند، مبنای تلفیق طیفی قرار گرفته‌اند. دو دسته توابع پایه اسلپین کروی با ضرایب مختلف برای تلفیق طیفی (ترکیب مدل‌ها) مفروض هستند. ضرایب یک دسته که مربوط به مدلسازی با داده‌های منطقه‌ای (مدلسازی مستقیم) است؛ از مدلسازی توسط ایستگاه‌های محلی بدست آمده‌اند. دسته دیگر حاصل از ضرایب هارمونیک‌های کروی وبا تبدیل یافته مدل هارمونیک کروی به اسلپین کروی (مدلسازی غیرمستقیم) در یک زیرفضای مکانی برابر با دسته اول است.

به منظور پیاده‌سازی تئوری تلفیق طیفی، درجه و مرتبه بیشینه مطابق با محصولات یونسفری سرویس‌های بین‌المللی برابر با ۱۵ در نظر گرفته شده‌است. محدوده جغرافیایی مطالعاتی نیز محدوده قطب شمال فرض شده‌است؛ که تقریباً عرض‌های جغرافیایی بالاتر از ۶۰ درجه را به صورت کلاهک کروی پوشش می‌دهد. فرآیند درستی آزمایی با مشاهدات گیرنده‌های دو فرکانسه ۳ ایستگاه مشاهداتی که در مدلسازی جهانی و مستقیم حضور نداشته‌اند، انجام شده است. ریشه میانگین مربعات خطاهای حاصل از درستی آزمایی برای مدل‌های جهانی، غیرمستقیم، مستقیم و تلفیقی به ترتیب، ۲/۷، ۲/۲، ۳/۷ و ۱/۴ TECU می‌باشد. به عبارت دیگر، نتایج تلفیق طیفی مدل‌های مستقیم و غیرمستقیم نشان از صحت بیشتر این نوع مدلسازی دارد.

واژه‌های کلیدی: تلفیق طیفی، اسلپین کروی، یونسفر.



## ۱- مقدمه

معمولًا مدل‌های متعددی برای رفتار یک پدیده طبیعی معرفی می‌شوند. این مدل‌ها می‌توانند مبنی بر مکانیزم‌های فیزیکی، مشاهدات روابط تجربی و یا مدل‌های صرفاً ریاضی باشند. یکی از مشکلات حاکم بر مدل‌های موجود، عدم تعامل و فقدان قابلیت ترکیب بین مدل‌های است. به عبارت دیگر نمی‌توان از ترکیب مدل‌های موجود به مدلی مناسب‌تر برای تخمین رفتار پدیده‌ها رسید.

برخی از مدل‌های فیزیکی تنها با پاره‌ای از مشاهدات ورودی مدلسازی انجام می‌دهند و قابلیت استفاده از دیگر مدل‌ها را ندارند. از طرف دیگر مدل‌های تجربی با داده‌های ویژه و در بازه‌های زمانی خاصی مورد اعتماد هستند. مضاف بر دو دسته فوق مدل‌های ریاضی نیز صرفاً بر اساس تعریف توابع پایه شکل می‌گیرند؛ که تنوع در توابع پایه آنها، احتمال ترکیب و تلفیق بین آنها را کاهش می‌دهد. در ضمن موارد فوق را می‌توان به مدل‌های جهانی و منطقه‌ای نیز تقسیم بنده کرد. در این صورت تعامل و ترکیب مدل‌ها روند پیچیده‌تری را می‌گیرد. در این تحقیق بررسی نحوه برهمکنش بین مدل‌های جهانی و منطقه‌ای مبنی بر توابع پایه ریاضی مورد توجه قرار گرفته است.

به منظور بررسی دقیق‌تر، در این تحقیق به رفتار یونسфер به عنوان لایه بسیار مهم در مطالعات جوی پرداخته شده است. یونسфер به عنوان لایه‌ای از اتمسفر با الکترون‌های آزاد، شناخته می‌شود. این لایه از ارتفاع ۷۰ کیلومتری سطح زمین شروع و تقریباً تا ۱۰۰۰ کیلومتری آن ادامه می‌یابد. مدلسازی رفتار این لایه به دلیل تاثیر زیاد بر روی مشاهدات سیستم‌های تعیین موقعیت ماهواره‌ای از اهمیت بسیاری برخوردار است. به همین دلیل مدل‌های یونسферی زیادی تولید، پیش‌بینی و عرضه می‌شوند.

همانند دسته‌بندی فوق، این مدل‌ها نیز معقولاً به سه دسته فیزیکی، تجربی و ریاضی تقسیم‌بندی می‌شوند؛ که می‌توان برای هر یک نمونه‌هایی را ذکر کرد. به دلیل نبود فضای قیاس و مبنای یکسان، بدون شک ترکیب مدل‌های یونسферی با مبنای‌های متفاوت ممکن نیست. به عنوان مثال نمی‌توان مدلی تجربی را با مدلی فیزیکی ترکیب کرد. از طرف دیگر حتی در مدل‌های ریاضی هم امکان ترکیب وجود ندارد. به عنوان مثال نمی‌توان مدل مبنی بر توابع پایه هارمونیک کروی را با مدل ایجاد شده براساس توابع پایه مثلثاتی کروی ترکیب کرد؛ چرا که توابع پایه هارمونیک‌های کروی جواب حاصل از حل معادله لاپلاس روى کره است؛ در حالی که توابع کروی این خاصیت را ندارند. نمونه مذکور یکی از بهترین نمونه‌هایی است که توابع پایه قرابت مبنایی ظاهری بسیار زیادی با هم داشته ولی بازهم قابلیت ترکیب ندارند.

این تحقیق به دنبال بررسی امکان ترکیب دو مدل ریاضی جهانی و مدل ریاضی منطقه‌ای است. تنها ترکیب دو مدل در فضایی ممکن است که مبنای توابع یکی باشند. اینجاست که با استی بدنی توابعی بود که ویژگی تعریف جهانی و منطقه‌ای را در خود داشته باشند. تئوری تمرکز مکان طیفی به صورت بهینه در منطقه مدنظر بر روی سیگنال‌های با باند طیفی محدود تعریف شده است. این تئوری می‌تواند فضای مناسبی جهت ترکیب توابع پایه مدل‌های جهانی و منطقه‌ای فراهم نماید. اولین مطلب در تعریف تئوری تمرکز طیفی توسط دیوید اسلپین<sup>۱</sup> و همکاران در طی سال‌های ۶۱ تا ۷۸ به صورت مجموعه مقالاتی منتشر شد [۱، ۲، ۳ و ۴]. این مجموعه مقالات به بررسی مساله تمرکز طیفی در یک بعد پرداخته‌اند. در مطالعات اخیر در این زمینه سیمونز و همکاران در سال ۲۰۰۶ تئوری اسلپین را برای هارمونیک‌های کروی باند محدود بسط دادند [۵، ۶ و ۷].

در این تحقیق دو دسته توابع اسلپین کروی با ضرایب مختلف برای تلفیق طیفی (ترکیب مدل‌ها) مفروض هستند. ضرایب یک دسته، مربوط به مدلسازی با داده‌های منطقه‌ای است. جزئیات این روش و نحوه مدلسازی آن در مقاله‌ای

<sup>1</sup> Slepian



تحت عنوان اسلپین کروی به عنوان یک روش جدید جهت مدلسازی یونسfer در قطب شمال آمده است [۸]. دسته دیگر حاصل از ضرایب هارمونیک‌های کروی وبا تبدیل یافته مدل هارمونیک کروی به اسلپین در یک زیرفضای مکانی برابر با دسته اول است [۹]. این دسته را می‌توان از مدل‌های هارمونیک کروی موجود که توسط سرویس‌های بین‌المللی در اختیار کاربران قرار می‌گیرند، محاسبه کرد. این پژوهش تلفیق طیفی این دو مدل با ضرایب مختلف را پیشنهاد می‌دهد که به نام تلفیق طیفی اسلپین کروی معروفی می‌شود. تئوری و روش انجام تلفیق طیفی اسلپین کروی برای نخستین بار در این تحقیق معرفی و مورد بررسی قرار گرفته است.

در بخش دوم این تحقیق ابتدا به معرفی دو روش مدلسازی برای توابع پایه اسلپین پرداخته و سپس روش ترکیب آنها توضیح داده می‌شود. بخش سوم به پیاده‌سازی این روش در ناحیه قطب شمال به عنوان مورد مطالعاتی اختصاص داشته و در آخر هم جمع‌بندی و نتیجه‌گیری آورده شده است.

## ۲- تئوری مسئله

اینجا ابتدا تعریف تئوری اسلپین کروی مورد بحث قرار گرفته و سپس روش‌های محاسبه ضرایب مربوط به توابع اسلپین کروی آورده می‌شود. در زیربخش ۲-۱ نحوه محاسبه توابع پایه اسلپین کروی از توابع هارمونیک کروی مورد تعریف قرار می‌گیرد. در ادامه چگونگی برآورده ضرایب نظیر آنها از ضرایب هارمونیک کروی مدل‌های جهانی بررسی می-شود. در اینجا این نوع مدلسازی را مدلسازی غیر مستقیم می‌نامیم. در زیربخش ۲-۲ به مدلسازی یونسfer با توابع پایه اسلپین کروی و مشاهدات GPS دو فرکانسه پرداخته می‌شود. در این تحقیق این روش را مدلسازی مستقیم نامگذاری کرده‌ایم. زیربخش ۲-۳ نیز به روش تلفیق طیفی بین این دو مدل اختصاص داده شده است.

## ۲-۱- مدل اسلپین از توابع هارمونیک کروی:

در اینجا توابع هارمونیک کروی و ضرایب آن به عنوان گام نخست کار قرار می‌گیرند. توابع هارمونیک کروی ترکیبی از بسط سری فوریه روی طول جغرافیایی و تابع لزاندر روی عرض جغرافیایی به عنوان توابع پایه متعامد روی سطح کره شناخته شده هستند. بیان ریاضی مولفه قائم محتوای کلی الکترونی<sup>۲</sup> (VTEC) با استفاده از توابع هارمونیک کروی به شکل زیر می‌باشد [۱، ۲، ۳ و ۴]:

$$VTEC(\theta_{IPP}, \lambda_{IPP}) = \sum_{l=0}^K \sum_{m=-l}^l \psi_{lm} Y_{lm}(\theta_{IPP}, \lambda_{IPP}) \quad (1)$$

در اینجا  $\theta_{IPP}$  و  $\lambda_{IPP}$  به ترتیب برابر با متمم عرض و طول جغرافیایی نقطه نفوذ در لایه یونسfer<sup>۳</sup> سیگنال ماهواره، l، m و K به ترتیب درجه، مرتبه و بیشترین تعداد درجات هارمونیک،  $\psi_{lm}$  ضرایب هارمونیک و  $Y_{lm}$  توابع هارمونیک کروی است که به شکل زیر است:

$$Y_{lm}(\theta_{IPP}, \lambda_{IPP}) = \begin{cases} \sqrt{2} X_{lm}(\theta_{IPP}) \cos(m\lambda_{IPP}) & \text{if } 0 < m \leq l \\ X_{l0}(\theta_{IPP}) & \text{if } m = 0 \\ \sqrt{2} X_{lm}(\theta_{IPP}) \sin(m\lambda_{IPP}) & \text{if } -l \leq m < 0 \end{cases} \quad (1-2)$$

<sup>2</sup> Vertical Total Electron Content (VTEC)

<sup>3</sup> Ionospheric Pierce Point



$$X_{lm}(\theta_{IP}) \neq -\left(\frac{2l+1}{4\pi}\right)^{1/2} \left[ \frac{(l-m)!}{(l+m)!} \right] P_{lm}(\theta_{IP}) \quad (2-2)$$

$$P_{lm}(\mu) = \frac{1}{2^l l!} (1-\mu^2)^{l/2} \left(\frac{d}{d\mu}\right)^{l+m} (1-\mu)^l \quad (3-2)$$

در اینجا  $P_{lm}$  تابع لزاندر است. مبنای تعریف توابع پایه هارمونیک کروی بر روی سطح کره اجازه نوشتن رابطه زیر را می‌دهد:

$$\int_{\Omega} Y_{lm} Y_{l'm'} d\Omega = \delta_{ll'} \delta_{mm'} \quad (3)$$

اینجا  $\delta$  دلتای کرونکر،  $\Omega$  سطح کره و  $d\Omega$  المان سطحی انتگرالگیری می‌باشد. از آنجایی که رابطه (3) فقط و فقط بر روی تمامی سطح کره صدق می‌کند، قطعاً تابع مربوط به هارمونیک‌های کروی روی بخشی از کره متعامد نیستند. حال مسئله اینست که باستی به دنبال متعامد کردن تابع و بهینه کردن تمرکز آنها در سطح منطقه مدنظر بود. بدین منظور تئوری اسلپین می‌تواند کارگشا باشد. تئوری اسلپین به دنبال به حداقل رساندن انرژی یک سیگنال بیرون منطقه مدنظر و یا به عبارت دیگر ماکریم کردن انرژی سیگنال‌های داخل منطقه مذکور است. این تئوری توسط سیمونز بر روی هارمونیک‌های کروی بدینگونه بیان شد که نسبت انرژی بر روی بخشی از سطح کره به انرژی بر روی کل کره ماکریم شود [۵]. بر اساس تعاریف، این تئوری اینگونه فرموله می‌شود [۸]:

$$\lambda = \frac{\|VTEC(\theta_{IP}, \lambda_{IP})\|_R^2}{\|VTEC(\theta_{IP}, \lambda_{IP})\|_\Omega^2} = \frac{\int_R VTEC^2(\theta_{IP}, \lambda_{IP}) d\Omega}{\int_\Omega VTEC^2(\theta_{IP}, \lambda_{IP}) d\Omega} = \max. \quad (4)$$

در اینجا  $R$  سطح منطقه مدنظر و بر مبنای نسبت فوق  $\lambda < 1$  می‌باشد. که البته با جایگذاری رابطه (1) در رابطه فوق خواهیم داشت:

$$\lambda = \frac{\sum_{l=0}^K \sum_{m=-l}^l \psi_{lm} \sum_{l'=0}^K \sum_{m'=-l'}^{l'} D_{lm, l'm'} \psi_{l'm'}}{\sum_{l=0}^K \sum_{m=-l}^l \psi_{lm}^2} \quad (5)$$

در اینجا می‌توان گفت:

$$D_{lm, l'm'} = \int_R Y_{lm} Y_{l'm'} d\Omega \quad (6)$$

رابطه (6) را می‌توان به گونه‌ای دیگر از رابطه (3) استخراج کرد. ماتریس  $D$  ماتریسی با ابعاد  $(l+1)^2 \times (l+1)^2$  می‌باشد. البته لازم به ذکر است که اگر رابطه فوق به صورت ماتریسی نوشته شود، می‌توان همان مسئله جبری مقادیر ویژه را استخراج کرد [۵]. یعنی:

$$\lambda \psi = D \psi \quad (7)$$



از این پس به دنبال شیوه محاسبه ماتریس  $\mathbf{D}$  خواهیم بود. ماتریس  $\mathbf{D}$  را می‌توان به زیرماتریس‌هایی به شکل رابطه زیر تقسیم کرد [۵]:

$$\mathbf{D} = \text{diag} \left\{ \mathbf{D}_0, \mathbf{D}_1, \mathbf{D}_2, \dots, \mathbf{D}_K, \mathbf{D}_K \right\} \quad (8)$$

در این رابطه  $\mathbf{D}_0$  نشانده‌نده محاسبه  $\mathbf{D}_{l=0,l=0}$  است. یعنی محاسبه ماتریس  $\mathbf{D}$  در حالتی که مرتبه آن صفر است. به منظور محاسبه رابطه (۶) و رابطه (۲-۲) خواهیم داشت [۵]:

$$X_{lm}(\theta_{pp}) X_{l'm'}(\theta_{pp}) = (-1)^m \sum_{n=[l-l']}^{l+l'} \sqrt{\frac{(2n+1)(2l+1)(2l'+1)}{4\pi}} \times \begin{pmatrix} l & n & l' \\ 0 & 0 & 0 \end{pmatrix} \begin{pmatrix} l & n & l' \\ m & 0 & -m \end{pmatrix} X_{n0}(\theta_{pp}) \quad (9)$$

در این رابطه آرایه‌های فوق نماد ویگنر  $z^{\alpha}$  هستند [۱۰]. پس از محاسبه ماتریس  $\mathbf{D}_m$  بايستی آنرا به مقدارها و بردارهای ویژه تبدیل کرد:

$$\mathbf{D}_m = \mathbf{V}_m \mathbf{\Lambda}_m \mathbf{V}_m^{-1} \quad (10)$$

در این رابطه  $\mathbf{V}_m$  بردارهای ویژه و  $\mathbf{\Lambda}_m$  مقدارهای ویژه برای مرتبه  $m$  در درجات از  $m$  تا ۱ می‌باشد. حال می‌توان با استفاده از بردارهای ویژه بدست آمده، توابع پایه اسلپین را در منطقه مدنظر ساخت [۸]:

$$S_{jm} = \mathbf{V}_{jm}^T Y_{:m} \quad (11)$$

همچنین به روش مشابه می‌توان ضرایب این توابع پایه جدید را محاسبه کرد [۸]:

$$\Psi_{jm} = \mathbf{V}_{jm}^{-1} \psi_{:m} \quad (12)$$

## ۲-۲- مدل اسلپین از مشاهدات مستقیم

در این بخش بايستی ضرایب متناسب با هر یک از توابع پایه بدست آمده از رابطه (۱۱) با استفاده از مشاهدات برآورد شود. به عبارت دیگر بايستی مدل مشاهده را ساخته و ضرایب مجھول را بدست آوریم. از آنجایی که مشاهدات در این تحقیق بر اساس مشاهدات دو فرکانس GPS استخراج شده، در گام نخست بايستی مشاهدات را از فایل‌های خام مشاهداتی فراخوانی و به صورت زیر برای ورود در معادلات مشاهدات آمده شوند [۱۱]:

$$STEC_p = \frac{f_1^2(P_1 - P_2 - B_i - B^p)}{40.3(\frac{f_1^2}{f_2^2} - 1)} \quad (13)$$

$$STEC_L = \frac{f_1^2(\lambda_1 L_1 - \lambda_2 L_2 - \lambda_1 N_1 + \lambda_2 N_2 - b_i - b^p)}{40.3(\frac{f_1^2}{f_2^2} - 1)} \quad (14)$$



در اینجا  $P_1$  و  $P_2$  مشاهدات کد،  $L_1$  و  $L_2$  مشاهدات فاز حامل،  $\lambda_1$  و  $\lambda_2$  به ترتیب طول موج مربوط به فرکانس‌های  $f_1 = 1575.42 MHz$  و  $f_2 = 1127.60 MHz$  و همچنین  $b_r^s$  و  $b_r^s$  بایاس‌های دستگاهی گیرنده و ماهواره در مشاهدات فاز حامل،  $B_r^s$  و  $B_s^s$  بایاس‌های دستگاهی گیرنده و ماهواره در مشاهدات کد و در آخر  $STEC_p$  و  $STEC_L$  محتوای الکترونی کل مسیر سیر سیگنال می‌باشند. از آنجایی که در رابطه (۱۴) اعداد ابهام فاز هر دو طول موج،  $N_1$  و  $N_2$  مشخص نیستند به تبع آن مقدار حاصل از رابطه (۱۴) بایاس داشته و قابل اعتماد نخواهد بود. به همین دلیل از این رابطه برای نرم کردن مقادیر حاصل از رابطه (۱۳) استفاده می‌شود. به منظور نرم‌سازی ابتدا بایستی اختلاف بین دو مقدار روابط (۱۳) و (۱۴) در هر اپک محاسبه شده، سپس بر روی یک بازه زمانی کوتاه (به عنوان مثال نیم ساعت) از این اختلاف میانگین‌گیری کرده و در آخر مقدار حاصل را به مقادیر رابطه (۱۴) اضافه می‌کنیم. در ادامه روابط محاسبات فوق آمده است [۱۲].

$$\Delta STEC_i = STEC_{p,i} - STEC_{L,i} \quad (15)$$

$$\Delta STEC_M = \frac{\sum_{i=1}^M \Delta STEC_i}{M} \quad (16)$$

$$STEC_{smooth} = STEC_L + \Delta STEC_M \quad (17)$$

پس از آماده شدن مقادیر مشاهدات بایستی آنها در راستای عمود بر کره واحد (که قرار است مشاهدات بر روی آن تصویر شوند) تصویر شوند که برای این منظور از رابطه زیر استفاده می‌شود:

$$VTEC = \cos(z) \times STEC_{smooth} \quad (18)$$

در اینجا  $z$  زاویه ارتفاعی بین امتداد عمود در نقطه نفوذ در لایه یونسفر بر روی کره واحد تا امتداد ماهواره و گیرنده است. پس از مهیا کردن مشاهدات بایستی آنها را در مدل مشاهده زیر گذاشته و به روش کمترین مربعات حل کنیم:

$$\mathbf{L} = \mathbf{AX} \quad (19)$$

در اینجا  $\mathbf{L}$  ماتریس مشاهدات  $VTEC$ ،  $\mathbf{X}$  ماتریس ضرایب مجھول توابع اسلپین کروی و  $\mathbf{A}$  ماتریس ساختار می‌باشند. لازم به ذکر است که بایستی در سرشکنی به روش کمترین مربعات، ماتریس وزن مشاهدات نیز وارد شود. این ماتریس از اعمال قانون انتشار خطها بر روی روابط ۱۳ تا ۱۸ بدست می‌آید.

### ۳-۲- تلفیق طیفی اسلپین کروی

در این قسمت بایستی دو مدل غیر مستقیم و مستقیم حاصل از روابط فوق تلفیق شوند. نکته حائز اهمیت در این تلفیق طیفی، مشابه بودن توابع پایه این دو دسته است. به منظور تلفیق طیفی این دو دسته مدل ضرایب نظری به نظری مدل‌ها به صورت زیر محاسبه می‌شوند:

$$\overline{VTEC}(\theta, \lambda) = \left( \sum_{j=1}^n \alpha_j \Psi_j^1 + \beta_j \Psi_j^2 \right) S_j(\theta, \lambda) \quad (20)$$



در اینجا  $\Psi^j$  ضرایب اسلپین کروی مدل غیر مستقیم،  $\Psi^2$  ضرایب اسلپین کروی مدل مستقیم می‌باشند.  $n$  تعداد توابع پایه اسلپین کروی استفاده شده و  $S(\theta, \lambda)$  تابع اسلپین کروی است.  $\alpha_j$  و  $\beta_j$  ضرایب مربوط به ترکیب طیفی هستند که به صورت زیر محاسبه می‌شوند:

$$\alpha_j = \frac{\sigma_{j,1}^2}{\sigma_{j,1}^2 + \sigma_{j,2}^2}, \quad \beta_j = \frac{\sigma_{j,2}^2}{\sigma_{j,1}^2 + \sigma_{j,2}^2} \quad (21)$$

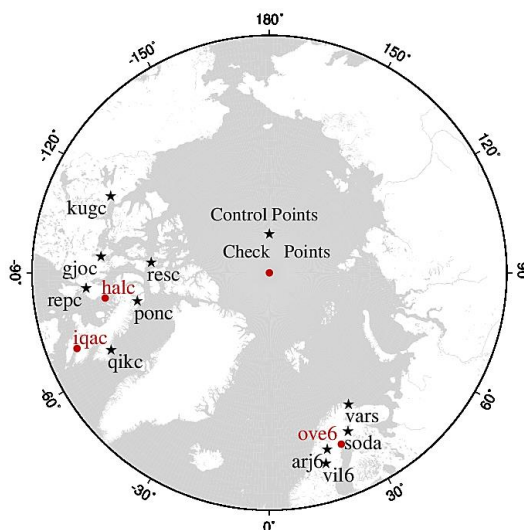
در اینجا  $\sigma_{j,1}^2$  و  $\sigma_{j,2}^2$  به ترتیب واریانس ضرایب مدل غیر مستقیم و مستقیم هستند. واریانس ضرایب مدل غیرمستقیم از اعمال قانون انتشار خطاها بر روی دقت ضرایب هارمونیک کروی بستگی ندارد. واریانس ضرایب مدل مستقیم نیز از ماتریس وریانس کوواریانس سرشکنی کمترین مربعات مربوطه، قابل حصول است.

### ۳- پیاده‌سازی

به منظور پیاده‌سازی روش‌های ذکر شده در این تحقیق بایستی ابتدا منطقه مطالعاتی و بیشینه درجه و مرتبه هارمونیک‌های کروی مدنظر را تعیین کرد. بیشینه درجه و مرتبه مطابق با محصولات یونسفری IGS برابر با ۱۵ در نظر گرفته شده است. محدوده جغرافیایی مطالعاتی نیز محدوده قطب شمال فرض شده است؛ که تقریباً عرض‌های جغرافیایی بالاتر از ۶۰ درجه را به صورت کلاهک کروی پوشش می‌دهد. بر اساس این منطقه و تعداد هارمونیک‌های کروی توابع پایه اسلپین کروی با رابطه (۱۱) ساخته می‌شوند.

در ادامه ضرایب هارمونیک کروی با قدرت تفکیک ۱ ساعته برای روز اول دسامبر ۲۰۱۵، از وب سرویس CODE (ftp://ftp.unibe.ch/aiub/CODE/2015/) دانلود شده است. سپس از ضرایب هارمونیک کروی موجود استفاده کرده و با کمک رابطه (۱۲) ضرایب نظیر تابع اسلپین کروی ساخته می‌شوند. البته لازم به ذکر است که دقت ضرایب فوق با استفاده از قانون انتشار خطاها بایستی محاسبه شود. این دقت‌ها در قسمت ترکیب طیفی به کار می‌روند.

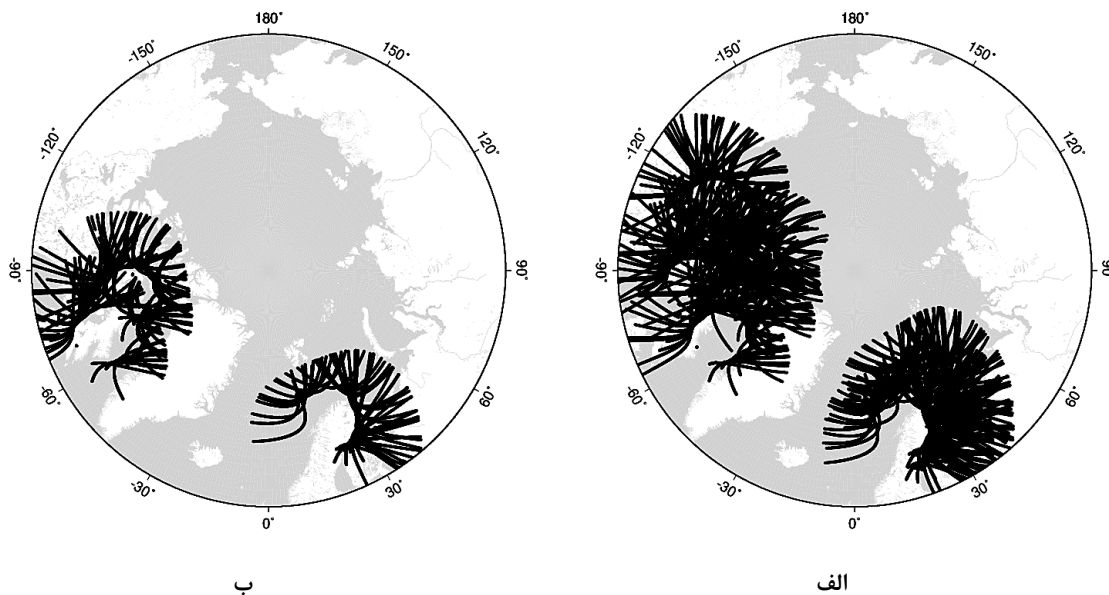
از آنجایی که این تحقیق به دنبال بررسی تلفیق طیفی اسلپین کروی دو مدل مختلف بوده است، مشاهدات ایستگاه‌های شبکه‌های منطقه‌ای شمال اروپا ([http://www.epncb.oma.be/\\_networkdata/stationlist.php](http://www.epncb.oma.be/_networkdata/stationlist.php)) و بخش شمالی کانادا (<http://chain.physics.unb.ca/chain/pages/stations/>) در روز یاد شده برای مدلسازی مستقیم مورد استفاده قرار گرفته است. در شکل (۱) موقعیت جغرافیایی این ایستگاه‌ها نشان داده شده است.



شکل ۱- موقعیت جغرافیایی نقاط مورداستفاده در مدلسازی مستقیم



در شکل فوق دو دسته ایستگاه مشاهداتی معرفی شده‌اند. دسته اول که به نام نقاط کنترل نشان داده شده‌اند و برای مدلسازی مستقیم به کار رفته‌اند. دسته دیگر (نقاط چک) ایستگاه‌هایی هستند که برای راستی آزمایی مدل‌ها و همچنین تلفیق طیفی پیشنهادی، به کار می‌رود. مورد بسیار مهم در گزینش این ایستگاه‌ها عدم حضور آنها در مدلسازی مدل‌های جهانی است. شکل (۲) درک بهتری از نحوه انتخاب ایستگاه‌های کنترل و چک را بدست می‌دهد. در این شکل نقاط نفوذ در لایه یونسfer برای دو دسته ایستگاه آورده شده است. بر اساس این شکل می‌توان دید که مشاهدات یک ایستگاه در قسمت شمال اروپا و دو ایستگاه در شمال کانادا معیارهای نسبتاً منطقی (با توجه به وضع موجود) برای ارزیابی نتایج می‌باشند.

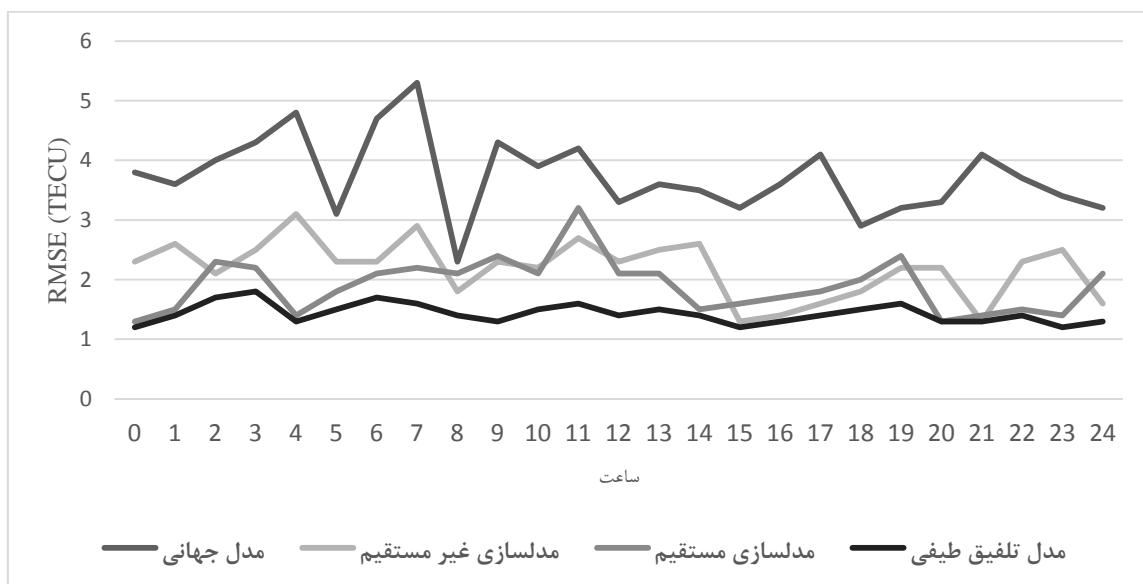


شکل ۲- موقعیت مکانی نقاط نفوذ یونسferی (الف: ایستگاه‌های کنترل و (ب: ایستگاه‌های چک

پس از فرآیند نرم‌سازی مشاهدات گیرنده‌های ۱۰ ایستگاه کنترل مذکور، تصویر در راستای قائم آنها با رابطه (۱۸) محاسبه شده و آنها برای ورود به دستگاه معادلات مشاهدات آماده شوند. سپس با استفاده از تکیک کمترین مربعات ضرایب توابع اسلپین کروی محاسبه می‌شود. دقت ضرایب محاسبه شده نیز یکی دیگر از خروجی‌های فرآیند کمترین مربعات است که در بخش ترکیب طیفی به کار گرفته می‌شوند.

همانطور که در بالا آورده شده بود، چهت درستی آزمایی مدلسازی از مشاهدات ایستگاه‌های نقاط چک استفاده شده است. این تحقیق به دنبال بررسی چگونگی تلفیق طیفی بوده است؛ به همین دلیل فرآیند درستی آزمایی بر روی مدل‌های جهانی، بهمودیافته جهانی (مدل غیرمستقیم)، مستقیم و همچنین تلفیقی انجام شده است. بدین منظور مختصات نقاط نفوذ یونسferی مشاهدات هر ۳ ایستگاه در چهار مدل وارد شد. مقدار VTEC محاسبه شده از آنها با مقدار مشاهداتی نظری آن نقاط نفوذ مقایسه شده و به صورت ریشه میانگین مربعات خطاهای<sup>۵</sup> برای هر بازه یک ساعته محاسبه شده است. شکل زیر مقدار این کمیت را نشان می‌دهد.

<sup>5</sup> Root Mean Square Error



شکل ۳- مقادیر RMSE برای مدل‌های جهانی، غیرمستقیم، مستقیم و تلفیقی در روز اول دسامبر سال ۲۰۱۵

با توجه با شکل فوق می‌توان دریافت که مدل جهانی عملکرد نامناسبی در مناطق قطبی دارد. همچنین همانطور که در شکل (۳) دیده می‌شود در برخی ساعت‌ها عملکرد مدل غیر مستقیم از مدل مستقیم بهتر است. به عبارت دیگر بر اساس نتایج حاصل از نقاط چک، مدل غیر مستقیم خطای کمتری در مدلسازی دارد. البته در سایر موارد مدلسازی مستقیم درستی بیشتری دارد. رویه‌مرفته میانگین RMSE در طول این بازه زمانی به ترتیب برای مدل غیرمستقیم و مستقیم درستی بیشتری دارد. رویه‌مرفته میانگین RMSE در کل بازه مطالعاتی عددی برابر با  $1/4$  TECU است. این امر نشان دهنده کارایی تلفیق طیفی در مورد مطالعاتی این تحقیق است.

علاوه بر موارد فوق در شکل (۳) دیده می‌شود که میزان خطای مدلسازی در حالتی که تلفیق طیفی انجام می‌شود تقریباً از دو مدل فوق‌الذکر کمتر است. نکته دیگر که در شکل دیده می‌شود خطای نسبتاً یکسان مدلسازی در کل بازه زمانی مطالعاتی است. میزان میانگین RMSE در کل بازه مطالعاتی عددی برابر با  $1/4$  TECU است. این امر نشان دهنده کارایی تلفیق طیفی در مورد مطالعاتی این تحقیق است.

#### ۴- نتایج و پیشنهاد

این تحقیق برای اولین بار چالش ترکیب مدل‌های منطقه‌ای و جهانی را مورد بررسی قرار داد. به این منظور مدل‌های جهانی یونسفری را که بر مبنای توابع پایه هارمونیک هستند با مدل منطقه‌ای با توابع پایه اسلپین کروی در منطقه کلاهک کروی قطب شمال تلفیق طیفی انجام شد. بر اساس مقایسه مدل‌های جهانی، مدلسازی غیرمستقیم و مستقیم در منطقه مطالعاتی، مشخص شد که مدل‌های جهانی کارکرد مناسبی ندارند. علاوه بر این، دیده شد که هیچ کدام از دو مدل مستقیم و غیر مستقیم برتری مطلقی در کل بازه زمانی مدنظر ندارند. میانگین RMSE مدل‌های مستقیم و غیر مستقیم برای کل بازه زمانی به ترتیب مقادیر  $1/9$  و  $2/2$  TECU بدست آمدند. در آخر نتایج تلفیق طیفی مدل‌های مستقیم و غیرمستقیم نشان از صحت بیشتر مدلسازی داشت. به طوری حاصل از این تلفیق طیفی برای  $1/4$  TECU محاسبه شده است.

همانطور که در بالا آورده شده بود، این تحقیق تنها به دنبال بررسی چگونگی امکان تلفیق طیفی دو مدل منطقه‌ای و جهانی بر روی مورد مطالعاتی خاصی بوده است. به منظور بررسی عمیق‌تر در تحقیقات آتی پیشنهاد می‌شود که از

<sup>6</sup> Total Electron Content Unit



توزیع ایستگاه‌های بیشتری در مناطق مطالعاتی استفاده شود. همچنین بازه زمانی بلندتری مورد مطالعه قرار بگیرد؛ چرا که امکان حضور تمامی پدیده‌های یونسفری در آن دیده شود.

## مراجع .

- [1] D. Slepian, and H. O. Pollak, “Prolate Spheroidal Wave functions Fourier Analysis and Uncertainty I.”, Bell Sys. Tech. J. 40, 1, 43–63, 1961.
- [2] D. Slepian, and E. Sonnenblick, “Eigenvalues associated with prolate spheroidal wave functions of zero order”, Bell Syst. Tech. J., 44, pp. 1745–1759, 1965.
- [3] D. Slepian, “On Bandwidth.”, Proceedings of the IEEE 64, 3, 1976.
- [4] D. Slepian, “Prolate Spheroidal Wave Functions, Fourier Analysis and Uncertainty V: The Discrete Case”, Bell Syst. Tech. J. 57, 2, 1371–1430, 1978.
- [5] F. J. Simons, F. A. Dahlen, and M. A. Wieczorek, “Spatiospectral Concentration on a Sphere”, SIAM Review 48, 3 (January), 504–536, 2006.
- [6] F. J. Simons, J. C. Hawthorne, and C. D. Beggan, “Efficient analysis and representation of geophysical processes using localized spherical basis functions”, In Wavelets XIII, V. K. Goyal, M. Papadakis, and D. Van De Ville, Eds. Vol. 7446. SPIE, San Diego, CA, USA, 74460G15, 2009.
- [7] F. J. Simons, “Slepian functions and their use in signal estimation and spectral analysis”, Handbook of Geomathematics, Eds. Thomas Sonar, Zuhair M. Nashed, and Willi Freeden. Heidelberg, Germany: Springer, 891-923, 2010.
- [8] H. Etemadfard, M. M. Hossainali, “Spherical Slepian as a New Method for Ionospheric Modeling in Arctic Region”, Journal of Atmospheric and Solar-Terrestrial Physics, under review, 2015.
- [9] H. Etemadfard, M. M. Hossainali, “Application of Slepian Theory for Improving the Accuracy of Global Ionosphere Models in the Arctic Region”, J. Geophys. Res. Space Physics, 120, 2015.
- [10] D. L. Donoho, P. B. Stark, “Uncertainty principles and signal recovery”, SIAM J. Appl. Math., 49, pp. 906–931, 1989.
- [11] X. Liao, “Carrier Phase Based Ionosphere Recovery over a Regional Area GPS Network”, UCGE Reports, Number 20143, The University of Calgary, Calgary, Alberta, Canada, 2000.
- [12] X. Liao, Y. Gao, “High-Precision ionosphere TEC Recovery Using a Regional Area GPS Network”, Navigation, Vol. 48, No. 2, 101-111, 2001.



## Introduction of Spherical Slepian Spectral Combination and Its Investigation on Global and Regional Ionospheric Models

Etemadfar, H. \*<sup>1</sup>, Hossainali, M. M.<sup>2</sup>

1- PhD. Student, Faculty of Geodesy and Geomatics Engineering, K. N. Toosi University of Technology

2- Associate Professor in Geodesy, Faculty of Geodesy and Geomatics Engineering, K. N. Toosi University of Technology

### Abstract

Lack of interaction and capability of combination between ionospheric models are important problems among them. This study has investigated the interaction between global and regional ionospheric models which are based on the base functions. Here, spherical Slepian base functions have been suggested for spectral combination. They can be defined in global and regional scales. Two sets of coefficient were assumed for spherical Slepian base function. One set (direct model) is extracted from the direct observation of GPS stations. Another set (indirect model) is derived from spherical harmonic products of Global Ionosphere Models (GIMs). GIM's coe been modified on a sub-space which is equal to pervious set.

Maximum degree has considered equal to 15 for implementation of spherical Slepian spectral combination theory. Also, the Arctic region has been taken as study area where is the spherical cap by latitude upper than 60 degrees. Observation of three GPS stations are used for evaluation of models. They have not contributed for direct and indirect modelling. Root Mean Square of Errors (RMSEs) for GIMs, direct, indirect and combination models are equal to 3.7, 2.2, 1.9, 1.4 TECU, respectively. In the other words, results show that combination method have improved the ionospheric modelling here.

**Keywords:** Spectral Combination, Spherical Slepian, Ionosphere.

Correspondence Address: No. 1346, ValiAsr Street, Mirdamad cross, Geomatics Engineering Faculty, K.N. Toosi University of Technology, Tehran, Iran. Tel: +98 21 88786212.

Email: [hossein\\_etemadfar@yahoo.com](mailto:hossein_etemadfar@yahoo.com)